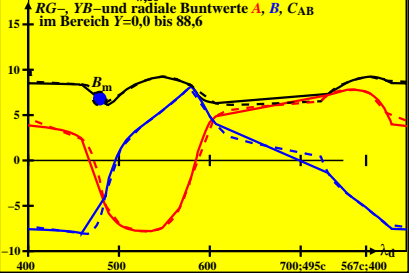
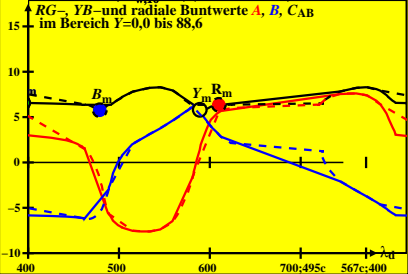


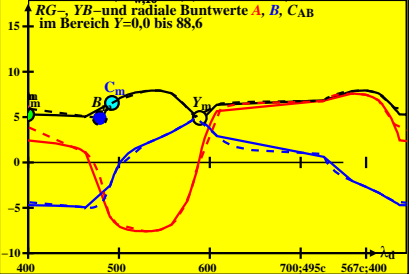
CIE-Daten für antichromatische Optimalfarben von maximalem Buntwert für D65, $Y_{m,10}=88,6$, $Y_m=520\ 770$, $B_m=380\ 520$



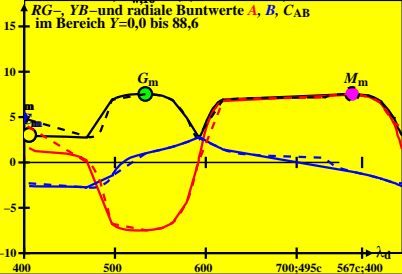
CIE-Daten für antichromatische Optimalfarben von maximalem Buntwert für D50, $Y_{m,10}=88,6$, $Y_m=520,770$, $B_m=380,520$



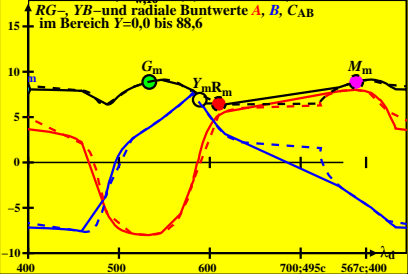
CIE-Daten für antichromatische Optimalfarben von maximalem Buntwert für P40, $Y_{w,10}=88,6$, $Y_m=520\ 770$, $B_m=380\ 520$



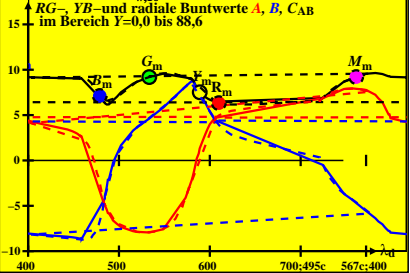
CIE-Daten für antichromatische Optimalfarben von maximalem Buntwert für A00, $Y_{m,10}=88,6$, $Y_m=520\ 770$, $B_m=380\ 520$



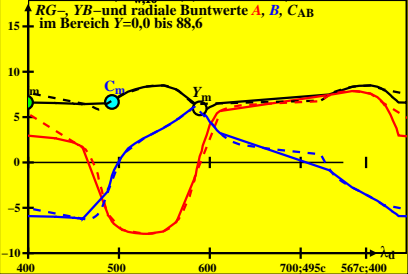
CIE-Daten für antichromatische Optimalfarben von maximalem Buntwert für E00, $Y_{m,10}=88,6$, $Y_m=520\ 770$, $B_m=380\ 520$



CIE-Daten für antichromatische Optimalfarben von maximalem Buntwert für C00, $Y_{m,10}=88,6$, $Y_m=520\ 770$, $B_m=380\ 520$



CIE-Daten für antichromatische Optimalfarben von maximalem Buntwert für P00, $Y_{w,10}=88,6$, $Y_m=520\ 770$, $B_m=380\ 520$



CIE-Daten für antichromatische Optimalfarben von maximalem Buntwert für Q00, $Y_{w,10}=88,6$, $Y_m=520\ 770$, $B_m=380\ 520$

